

九州大学 工学部

正員

上田年比古

九州産業大学工学部

正員

○崎山 正常

企

学生

山下 英昭

1. まえがき 表題の内容については、22回年次講演会でも若干小めたが、今般、解析結果を実際に数値計算する過程に多少の改良を行なへ、数値計算と実験とから理論の各当性について検討を加えたのでその概要を発表する。なお、文献<sup>1)</sup>でも言及しているように本研究は海岸付近の淡水湖の水位が低下した場合に地下塩水が淡水湖内に浸入してくる危険を地下塩水のポテンシャルを低下させて防止しようとする意図にはじめたものである。

図-1 流れの場 ( $Z=x+iy$ )2. 解析 流れの場は図-1に示すように、一様

な透水性砂層の深部に算ポテンシャル面とみなされる粗層が存在し、流れは二次元定常の場合を考える。図中の記号にしたがへ  $x, y$  の負方向の流速を  $U, V$  とし、速度ポテンシャルを  $\Psi$ 、流れの関数を  $\psi$ 、複素ポテンシャルを  $W$  とすれば

$$U = \frac{\partial \Psi}{\partial x} = \frac{\partial \psi}{\partial y}, \quad V = \frac{\partial \Psi}{\partial y} = -\frac{\partial \psi}{\partial x} \quad \dots (1)$$

$$\Psi = \Phi + i\psi$$

また、流れの場の任意處における圧力を  $P$  とし、塩水に対する地盤の透水係数を  $k$  とすれば Darcy の法則により

$$U = k \frac{\partial}{\partial x} \left( \frac{P}{k} + \gamma \right), \quad V = k \frac{\partial}{\partial y} \left( \frac{P}{k} + \gamma \right) \quad \dots (2)$$

したがつて(1)および(2)式より

$$\Psi = k \left( \frac{P}{k} + \gamma \right) \quad \dots (3)$$

がえられる。次に淡塩境界面(CD線上)における諸種の物理量に添字  $s$  を付してあらわすと

$$P_s = \gamma_s (H_s - \gamma_s) \quad \dots (4)$$

これを(3)式に適用すると

$$\Psi_s = k \frac{\epsilon_1}{E_1} H_s + k \epsilon_0 \gamma_s, \quad \epsilon_1 = (E_1 - E_0)/E_1, \quad \epsilon_0 = \epsilon_1/(1 + \epsilon_1) \quad \dots (5)$$

となる。(5)式によつて Zhukovsky 関数化を行なうと

$$\Omega_1 = \Psi - k \epsilon_0 \gamma, \quad \Omega_2 = \psi + k \epsilon_0 X \quad \dots (6)$$

$$\Omega = \Omega_1 + i \Omega_2 = W + i k \epsilon_0 Z, \quad Z = x + iy$$

がえられる。流れの場に対して、 $Z, W$  および  $\Omega$  面の境界条件を整理すると表-1 がえられる。これによつて、 $W$  および  $\Omega$  面を画けば図-2 および図-3 がえられる。これら面上の特異点の値を

図-4 および図-5 に示すように之らべば Schwarz-

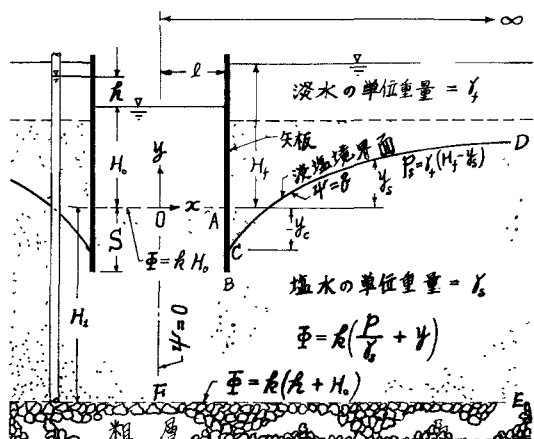


表-1. 境界条件

$$*\text{印を付したもののは const. } \quad \epsilon_1 = \frac{E_1 - E_0}{E_1}, \quad \epsilon_0 = \frac{E_0}{1 + \epsilon_1}$$

境界	$Z=x+iy$	$W=\Psi+i\psi$	$\Omega=\Omega_1+i\Omega_2$
境界	$x$	$y$	$\Psi = k \left( \frac{P}{k} + \gamma \right)$
EF	$x$	$-H_s$	$\Psi = k \left( \frac{P}{k} + \gamma_s \right)$
FO	$*0$	$y$	$\Psi = k \left( \frac{P}{k} + \gamma_s \right)$
OA	$x$	$*0$	$\Psi = k \left( \frac{P}{k} + \gamma_s \right)$
ABC	$*l$	$y$	$\Psi = k \left( \frac{P}{k} + \gamma_s \right)$
CD	$x_s$	$y_s$	$\Psi = k \left( \frac{P}{k} + \gamma_s \right)$

Christoffel の定理によつて  $W$  および  $\Omega$  面は  $t$  面を媒介面として積分

$$W = -N \int \frac{dt}{\sqrt{(-t)} \sqrt{(1-t)} \sqrt{(\frac{1}{\epsilon^2} - t)}} \quad \dots (7)$$

$$\Omega = -M \int \frac{\sqrt{(\frac{1}{\epsilon^2} - t)} \cdot dt}{\sqrt{(-t)} \sqrt{(1-t)} \sqrt{(\frac{1}{\epsilon^2} - t)} \sqrt{(\frac{1}{\epsilon^2} - t)}} \quad \dots (8)$$

で関係づけられる。ここに  $\beta^2, \delta^2, \epsilon^2$  および  $N$ ,

$M$  の値は  $W$  および  $\Omega$  面の境界条件によって定まる定数であるが  $N$  と  $M$  については解析過程における無次元化によって所要の各式から消去できるので基本的未知定数である  $\beta^2$ ,  $\gamma^2$  および  $\delta^2$  の決定手順について実際の数値計算に便利なようにまとめておこう。

3. 未知定数の決定 まず以後の記述にあらわれた関数記号についてのべると

$$\left. \begin{aligned} F(\epsilon, \theta) &= \int_0^\theta \frac{d\alpha}{\sqrt{1 - \epsilon^2 \sin^2 \alpha}}, \quad F(\epsilon, \pi/2) = K(\epsilon) \\ \Pi(-\epsilon^2; \gamma, \theta) &= \int_0^\theta \frac{d\alpha}{(1 - \epsilon^2 \sin^2 \alpha) \sqrt{1 - \gamma^2 \sin^2 \alpha}} \end{aligned} \right\} \cdots (9)$$

$$\Pi(-\epsilon^2, \gamma, \pi/2) = \Pi_0(-\epsilon^2, \gamma)$$

さて、与えられた  $\epsilon_0 H_0/R$ ,  $\epsilon_0 l/R$  および  $\epsilon_0 S/R$  についての  $\beta^2$ ,  $\gamma^2$  および  $\delta^2$  の決定手順は、まず

$$1). \quad \delta/(Rl) = K(\epsilon)/K(\epsilon') \geq \delta/H_0, \quad \epsilon'^2 = 1 - \epsilon^2 \cdots (10)$$

を満足する  $\epsilon^2$  (ひいては流量  $\delta$ ) を仮定する。次にこの  $\epsilon^2$  を用いて

$$2). \quad \beta^2 = \frac{\gamma^2 \left[ \frac{(1 + \epsilon_0 H_0/R) \cdot \epsilon'^2 \cdot K(\epsilon')}{\beta^2 \cdot K(\epsilon') + (\epsilon^2 - \epsilon'^2) \cdot \Pi_0(-\epsilon'^2, \gamma')} \right]^2 - \epsilon^2}{\left[ \frac{(1 + \epsilon_0 H_0/R) \cdot \epsilon'^2 \cdot K(\epsilon')}{\gamma^2 \cdot K(\gamma') + (\epsilon^2 - \epsilon'^2) \cdot \Pi_0(-\epsilon'^2, \gamma')} \right]^2 - 1} \cdots (11)$$

$$\epsilon'^2 = 1 - \epsilon^2$$

で  $\beta^2 = 1$  (すなわち  $\epsilon_0 S/R = 0$ ) に対する  $\beta^2$  の値  $\beta_{max}^2$  を求める。この  $\epsilon^2$  と  $\beta_{max}^2$  を

$$3). \quad \epsilon_0 \frac{S}{R} = \frac{(1 + \epsilon_0 H_0/R) \cdot \gamma^2 \cdot \Pi_0(-\frac{\epsilon^2 - \epsilon'^2}{\epsilon'^2}, \gamma)}{\gamma^2 \cdot K(\gamma') + (\epsilon^2 - \epsilon'^2) \cdot \Pi_0(-\epsilon'^2, \gamma')} - \frac{K(\epsilon)}{K(\epsilon')} \cdots (12)$$

に適用して与えられる  $\epsilon_0 l/R$  は与えられた  $\epsilon_0 l/R$  よりも少なくてとも小さくなければならぬ。なぜなら与えられた  $\epsilon_0 H_0/R$  および  $\epsilon_0 l/R$  の条件のもとで  $\epsilon_0 S/R = 0$  の状態は流量が最大の流れの場であるから (12) 式の右辺で計算される  $\epsilon_0 l/R$  が与えられたものより大きいために假定の流量が大きすぎたわけであるからこの段階で  $\beta^2$  の假定を当初の假定より小さくして 1) ～ 3) の過程をくりかえさなければならぬ。この

図-2  $W = \Phi + i\psi$  面

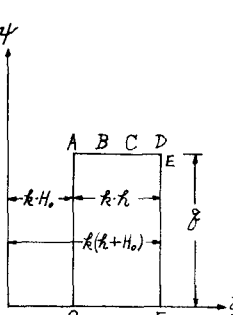


図-3  $\Omega = \Omega_1 + i\Omega_2$  面

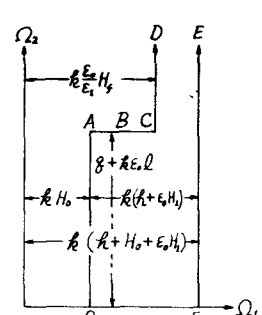
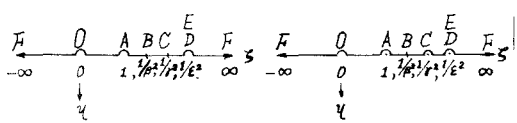


図-4.  $t = 5 + i\psi$  面

(W面に対するもの)

図-5.  $t = 5 + i\chi$  面

(Ω面に対するもの)



ようにして (12) 式の右辺で計算される  $\epsilon_0 S/R$  が与えられた  $\epsilon_0 S/R$  よりも少なくとも小さくなるよう  $\gamma^2_{max}$  の値がわかつたならば、次に  $\beta^2$  の値を  $\beta_{max}^2$  の付近から徐々に小さくしてゆくと (12) 式の右辺で計算される  $\epsilon_0 S/R$  は徐々に大きくなり、ついには与えられた  $\epsilon_0 S/R$  に一致させることができる。このときの  $\gamma^2$  および  $\epsilon^2$  を用いて改めて (12) 式で  $\beta^2$  を求めれば

$$4). \quad \sin^2 \theta_{as} = \frac{\beta^2}{\gamma^2}, \quad \sin^2 \theta_{av} = \frac{\beta^2}{\epsilon^2}, \quad \beta^2 = 1 - \epsilon^2$$

$$\epsilon_0 \frac{S}{R} = \frac{(1 + \epsilon_0 H_0/R) \{ \epsilon^2 \cdot F(\gamma, \theta_{as}) - (\epsilon^2 - \epsilon'^2) \cdot \Pi_0(-\frac{\epsilon^2 - \epsilon'^2}{\epsilon'^2}, \gamma, \theta_{as}) \}}{\gamma^2 \cdot K(\gamma') + (\epsilon^2 - \epsilon'^2) \cdot \Pi_0(-\epsilon'^2, \gamma')} - \frac{F(\epsilon, \theta_{as})}{K(\epsilon')}$$

で  $\epsilon_0 S/R$  が計算される。これが与えられた  $\epsilon_0 S/R$  より小さければ  $\epsilon_0 H_0/R$  および  $\epsilon_0 l/R$  は与えられた値で  $\epsilon_0 S/R$  のみが与えられた値よりも小さくなつて  $\epsilon_0 l/R$  のみが与えられた値よりも小さくなつて  $\epsilon_0 S/R$  が計算される。これが与えられた  $\epsilon_0 S/R$  より大きければ  $\epsilon_0 H_0/R$  および  $\epsilon_0 l/R$  は与えられた値で  $\epsilon_0 S/R$  のみが与えられた値よりも大きくなつて  $\epsilon_0 l/R$  のみが与えられた値よりも大きくなつて  $\epsilon_0 S/R$  が計算される。したがつて假定の  $\epsilon^2$  がまだ大きすぎたわけであるから、さらに  $\epsilon^2$  の假定を小さくして 1) ～ 4) の手順をくりかえさなければならぬ。このようにして、与えられた  $\epsilon_0 l/R$  および  $\epsilon_0 S/R$  について  $\epsilon^2$ ,  $\gamma^2$  および  $\beta^2$  の各値を決定することができる。このとき

$$\frac{\varepsilon_0 H_0}{\varepsilon_1 H_0} - \frac{H_0}{h} = \frac{(1 + \varepsilon_0 \frac{H_0}{h}) \left\{ \varepsilon^2 K(\varepsilon') - (\varepsilon^2 - \varepsilon^3) \cdot \Pi_0 \left( \frac{\varepsilon'}{\varepsilon^2}, \varepsilon' \right) \right\}}{\varepsilon'^2 \cdot K(\varepsilon') + (\varepsilon^2 - \varepsilon^3) \cdot \Pi_0 (-\varepsilon^2, \varepsilon')} \quad \dots (14)$$

において  $\frac{\varepsilon_0 H_0}{\varepsilon_1 H_0} - \frac{H_0}{h} = \text{const.}$  となるが、このことは  $\varepsilon_0 H_0/h$  および  $H_0/h$  のそれぞれの値が、この const. を保ったままでそれぞれ変化しても下層塩水の流れは相似であることを示して合理的である。さて、以上のようないくつかの数値計算の結果、与えられた透水係数をと水頭差  $h$  のもとに、(10)式より流量  $Q$  が決定される。このときには形成される淡塩境界面の曲線式について次にまとめよう。

#### 4. 淡塩界面の曲線式 解析結果の無次元化の結果は次のようにえられた。ちなみに

$$1/\varepsilon^2 \leq 5 \leq 1/\varepsilon^2$$

$$\sin^2 \theta_x = \frac{\varepsilon^2 S - 1}{\varepsilon^2 (S-1)}, \quad \sin^2 \theta_y = \frac{1}{\varepsilon^2} \left( \frac{S-1}{S} \right)$$

$$\varepsilon_0 \frac{y_0}{h} = \varepsilon_0 \frac{l}{h} + (1 + \varepsilon_0 \frac{H_0}{h}) \cdot \varepsilon^2$$

$$\left. \begin{aligned} & \left[ \frac{\varepsilon_0 \varepsilon^2 \cdot \tanh^{-1} \left( \frac{\varepsilon \varepsilon'}{\varepsilon^2} \tan \theta_x \right)}{\varepsilon \varepsilon'} - \left( \frac{\varepsilon \varepsilon'}{\varepsilon^2 - \varepsilon^3} \frac{\tan \theta_x}{1 - \varepsilon^2 \sin^2 \theta_x} \right) \right] - \Pi_0 \left( \frac{\varepsilon^2 \varepsilon'}{\varepsilon^2 - \varepsilon^3}, \varepsilon' \theta_x \right) \\ & \quad \varepsilon'^2 K(\varepsilon') + (\varepsilon^2 - \varepsilon^3) \cdot \Pi_0 (-\varepsilon^2, \varepsilon') \end{aligned} \right]$$

$$\varepsilon_0 \frac{y_0}{h} = - \left\{ \frac{\varepsilon_0 H_0}{\varepsilon_1 H_0} - \frac{H_0}{h} \right\} + \frac{F(\varepsilon, \theta_x)}{K(\varepsilon)}$$

....

....(15)

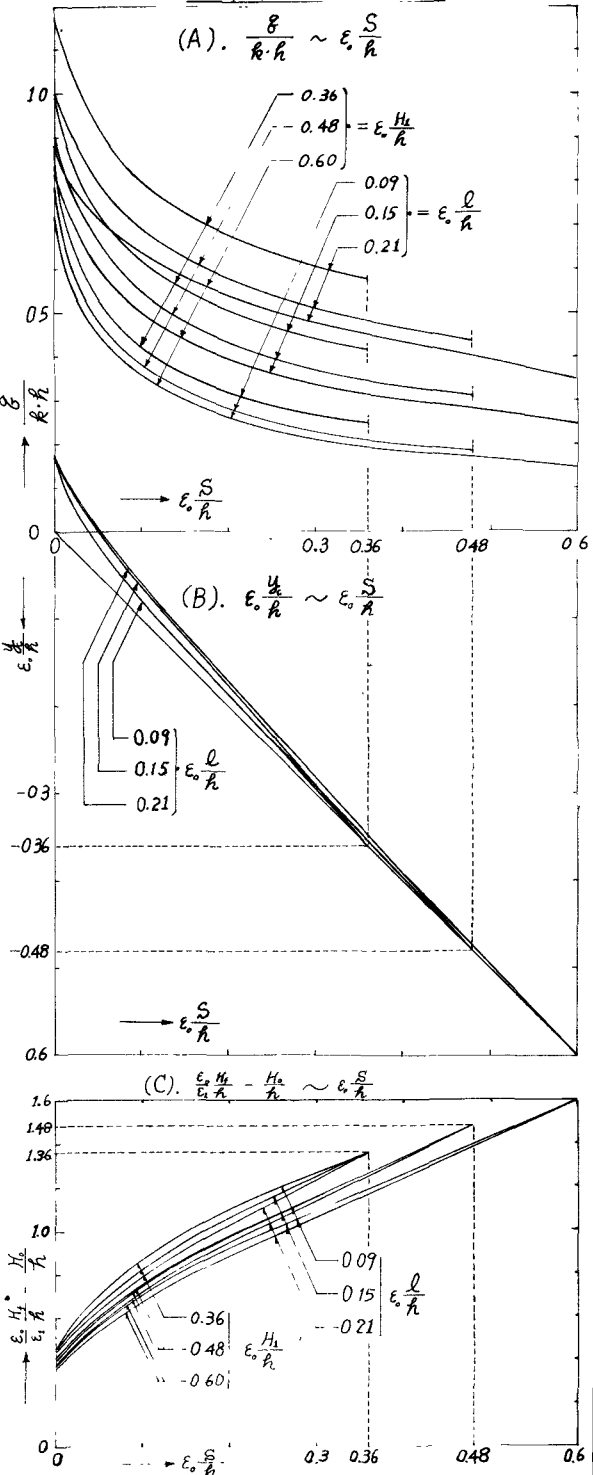
特に、C 点の y 座標は

$$\sin^2 \theta_{yc} = \frac{\varepsilon^2}{\varepsilon^2}, \quad \varepsilon_0 \frac{y_c}{h} = - \left\{ \frac{\varepsilon_0 H_0}{\varepsilon_1 H_0} - \frac{H_0}{h} \right\} + \frac{F(\varepsilon, \theta_c)}{K(\varepsilon)} \quad \dots (16)$$

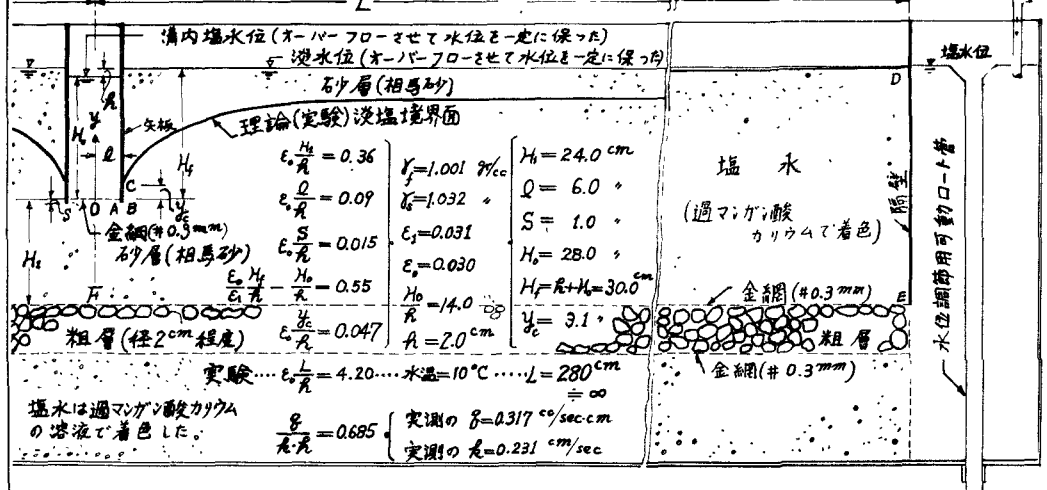
となる。

5. 数値計算および実験 主要な物理量を検討するため  $\varepsilon_0 H_0/h$  および  $\varepsilon_0 l/h$  にそれぞれ 3 種の値を与えて、これらの組合せについて  $\varepsilon_0 S/h$  をいろいろに変化させて数値計算を行ない、このなかの数種の断面について砂模型による実験を行なった。数値計算では図-6 (A), (B) および (C) の結果がえられた。これに若干の考察を加えてみよう。

図-6.  $\varepsilon_0 H_0/h$ ,  $\varepsilon_0 l/h \sim \varepsilon_0 S/h$



### 図-7. 実験結果 および 装置略図



1)  $8/(k \cdot h)$  について .....  $E_0 H_1/k$  および  $E_0 l/k$  を一定にすると  $E_0 S/k$  の大きさについては  $E_0 S/k$  が増加すると急激に小さくなる。 $E_0 H_1/k$  および  $E_0 S/k$  を一定にすると  $E_0 l/k$  が大きくなるとほぼ直線的に大きくなる。また、 $E_0 l/k$  および  $E_0 S/k$  を一定にすると  $E_0 H_1/k$  が大きくなると小さくなる。

2).  $E_0^{\text{Hg}}/A$  にこゝで .....  $E_0^{\text{H}}/A$  および  $E_0^{\text{S}}/A$  を一定にすると  $E_0^{\text{S}/\text{Hg}}$  が小さくなるでは C 点は S の正側にあるか  $E_0^{\text{S}/\text{Hg}}$  が大きくなるにつれて S の負側にうつり下ってゆく。  $E_0^{\text{H}}/A$  および  $E_0^{\text{S}}/A$  を一定にすることを  $\theta/\text{h}$  が小さくなると若干小さくなるよりである。また、  $E_0^{\text{Hg}}/A$  および  $E_0^{\text{S}}/A$  を一定にして  $E_0^{\text{H}}/A$  を変化させても C 点はほとんど動かない。

ようである。

3).  $\frac{E_0 H_0}{E_0 R} - \frac{H_0}{R}$  について .....  $E_0 H_0/R$  および  $E_0 l/R$  を一定にすると  $E_0 S/R$  が大きくなるとほぼ直線的に大きくなる。 $E_0 H_0/R$  および  $E_0 S/R$  を一定にすると  $E_0 l/R$  が大きくなると小さくなる。また、 $E_0 l/R$  および  $E_0 S/R$  を一定にすると  $E_0 H_0/R$  が大きくなると小さくなる。

次に、実験の一例を図-10に示してあるが、これによると浸漬境界面は理論と実験とがほとんど一致し、また、流量についても実測の流量を(10)式

に適用して逆算された透水係数の値が他の断面についての実験の場合とほぼ一致した値であることから理論が妥当であることがわかる。なお、図-7に示す  $L$  が有限な場合七、夜層(EF面下)が不透水層である場合についても解析を終り、目下、数値計算および実験によって検討を進めていくのでこれについても発表の機会を乞うと思つておる。

最後に、数値計算および実験を手伝ってもらつた九州産業大学土木教室 有吉孝一君に感謝申上げる。また、本研究には文部省各個研究費および九州産業大学特別研究費の援助を受けた。謝意を表する。

## 参考文献

- 1) 上田・崎山 ; 地下塗水汲上げによる浸漬境界面の低下。  
土木学会年次学術講演会 講演概要 II-38 (昭42.5)
  - 2) 上田・崎山 ; 海水飽和地盤における淡水注入溝の浸透。  
土木学会論文集 第135号 (昭41.11)
  - 3) M-E Haar ; Ground water and Seepage

McGraw-Hill Book Co (1962)